

Properties Hall Effect of Indium sulfide Thin Film Prepared by Spray Pyrolysis Method

吳金坤^{*} · 金亨坤^{**} · 金炳哲^{**} · 崔榮鎰^{***} · 金南伍[†]

(Gum-Kon Oh · Hyung-Gon Kim · Byung-Cheol Kim · Young-Il Choi · Nam-Oh Kim)

Abstract – The In_2S_3 and $\text{In}_2\text{S}_3:\text{Co}^{2+}$ thin films were grown by the spray pyrolysis method. The thin films crystallized into tetragonal structures. The indirect energy band gap was 2.32eV for In_2S_3 and 1.81eV for $\text{In}_2\text{S}_3:\text{Co}^{2+}$ at 298 K. The direct energy band gap was 2.67eV for In_2S_3 and 2.17eV for $\text{In}_2\text{S}_3:\text{Co}^{2+}$ thin films. Impurity optical absorption peaks were observed for the $\text{In}_2\text{S}_3:\text{Co}^{2+}$ thin films. These impurity absorption peaks are assigned, based on the crystal field theory, to the electron transitions between the energy levels of the Co^{2+} ion sited in T_d symmetry. The electrical conductivity (σ), Hall mobility (μ_H), and carrier concentration (n) of the In_2S_3 thin film were measured, and their temperature dependence was investigated.

Key Words : Impurity Optical Absorption, Crystal Field Theory, Electrical Conductivity, Hall Mobility, Energy Band Gap

1. 서 론

III₂-VI₃족 화합물 반도체인 In_2S_3 는 가시광과 자외선 영역에서 광전감도가 높고, 강한 형광을 나타내는 물질로 광전소자의 응용성이 높은 재료이다. In_2S_3 결정 내부에 포함되어 있는 구조결함과 sulfur의 높은 증기압으로 인한 화학당량적 조성을 만족하는 단결정을 얻기가 어렵다. 또한 In_2S_3 결정은 400°C 이하에서는 tetragonal 구조를 나타내지만 400~754°C 영역에서는 cubic 구조가 되며, 754°C 이상에서는 trigonal 구조가 형성되어 단일성 결정을 얻기가 어렵다. 이러한 특이성 구조 변환 때문에 광전소자에 응용이 이루어지지 못하고 있었다. 그러나 구조결함을 이용한 연구가[1,2] 활발히 이루어짐으로써 In_2S_3 화합물 연구에 필요성이 증진되어 가고 있다.

따라서 본 연구에서는 In_2S_3 화합물 중에서 가장 안정한 In_2S_3 박막을 sulfur의 소모가 없고, 박막성장이 용이한 분무합성(spray pyrolysis) 방법[3]으로 제작하여 화학당량적 조성을 만족한 In_2S_3 박막을 성장시켰으며, In_2S_3 박막과 $\text{In}_2\text{S}_3:\text{Co}^{2+}$ 박막에서 광학적 에너지 캡을 측정하고, 결정장이론을[4] 적용하여 불순물 광흡수 피크를 해석하였으며, 전기적인 특성을 측정하여 분석하였다.

2. 실 험

박막 제작에 사용된 분무 모액(spray solution)은 고순도

의 InCl_3 , thiourea, 그리고 CoCl_2 등을 methanol에 녹여서 0.25mole%의 모액을 만들고, 여기에 적당량의 고순도 H_2O 를 첨가하여 모액을 만들었다. 특히 sulfur의 증발에 의한 화학당량적 조성을 위해 thiourea를 30%정도 과잉으로 첨가하여 사용하였으며, $\text{In}_2\text{S}_3:\text{Co}^{2+}$ 박막 제작시 첨가한 cobalt 불순물 량은 0.1mole% 정도이었다. 박막 제작용 기판은 Slide Glass(Corning-2948)를 세척하여 사용하였다. 박막 제작은 6~15mL/min 분무속도로 20분 동안 spray 하였고, 이 때 기판온도는 350°C로 하였다. 제작된 In_2S_3 과 $\text{In}_2\text{S}_3:\text{Co}^{2+}$ 박막의 두께는 1μm 정도이었다.

성장된 박막의 광흡수 측정은 극저온장치(Janis, SVT-400)을 장착한 UV-VIS-NIR 분광광도계(Hitachi, U-3501)를 사용하여 5K~300K의 온도범위에서 200~3500nm 광 에너지 영역에서 측정하였다. 400~4000cm⁻¹ 광 에너지 영역에서는 FT-IR 분광광도계(Bomen, DA-8)를 사용하여 측정한 광흡수를 환산하여 보정하였다. 불순물 광흡수 피크 측정시는 정확한 피크를 얻어내기 위하여 미분법을 사용하여 측정하고, 이 측정치를 환산하여 보정하였다. 전도도(σ), 이동도(μ), 캐리어농도(n)등은 Hall 측정 장치(Lakeshore, 9505)를 사용하여 1.6 K에서 300K까지의 온도영역에서 측정하였다.

3. 실험결과 및 고찰

In_2S_3 및 Co^{2+} 도핑된 In_2S_3 박막의 구조를 분석하기 위하여 시료를 XRD로 측정한 결과 그림 1과 같다. 이 시료으로부터 얻은 X-ray 회절무늬는 (103), (109), (220), (309), (400) 면에서 회절피크가 나타났다. 이 회절선 피크로부터 구한 결정구조는 정방정계 구조이었으며, 격자상수는 In_2S_3 박막의 경우 $a=7.587\text{\AA}$, $c=32.298\text{\AA}$ 이었고, $\text{In}_2\text{S}_3:\text{Co}^{2+}$ 박막의 경우 $a=7.647\text{\AA}$, $c=32.923\text{\AA}$ 으로 주어졌으며 불순물 코발트를 첨가함으로써 격자상수 값은 변화함을 알 수 있다.

* 교신저자, 正會員 : 朝鮮理工大學 電氣科 助教授
E-mail : nokim@mail.chosun.ac.kr

* 正會員 : 朝鮮大學校 電氣工學科 教授

** 正會員 : 朝鮮理工大學 電氣科 教授

*** 正會員 : 朝鮮理工大學 메카트로닉스科 教授

接受日字 : 2005年 2月 26日

最終完了 : 2005年 5月 17日

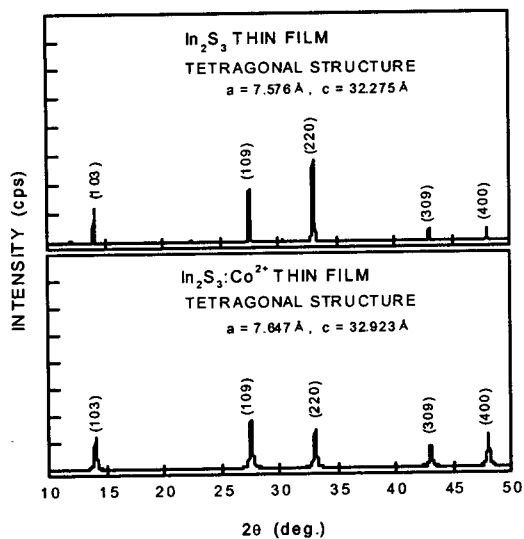


그림 1. In_2S_3 와 $\text{In}_2\text{S}_3:\text{Co}^{2+}$ 박막의 XRD 회절 무늬
Fig. 1. X-ray diffraction pattern of In_2S_3 and $\text{In}_2\text{S}_3:\text{Co}^{2+}$ thin films.

In_2S_3 과 $\text{In}_2\text{S}_3:\text{Co}^{2+}$ 박막의 광학적 에너지 띠 간격(E_g)을 광흡수 계수(a)와 입사광 에너지($h\nu$) 사이의 관계식 $(a \cdot h\nu) \sim (h\nu - E_g)$ [5] 사용하여 측정하였다. $n=1/2$ 이면 간접천이형 에너지 띠 간격이 되고, $n=2$ 일 때는 직접천이형 에너지 띠 간격이 된다. 이로부터 In_2S_3 과 $\text{In}_2\text{S}_3:\text{Co}^{2+}$ 박막에서는 $h\nu$ 와 $(a \cdot h\nu)^n$ 사이의 관계를 구하면 그림 2와 그림 3과 같이 $(a \cdot h\nu)^n = 0$ 인 점에서 $h\nu = E_g$ 관계로부터 간접천이형 에너지 띠 간격은 300K에서 In_2S_3 박막의 경우 2.32eV이고 $\text{In}_2\text{S}_3:\text{Co}^{2+}$ 박막의 경우는 1.82eV 이었으며, 직접천이형 에너지 띠 간격은 In_2S_3 박막은 2.67eV로 나타났고 불순물 도평된 $\text{In}_2\text{S}_3:\text{Co}^{2+}$ 박막은 2.17eV로 주어진다.

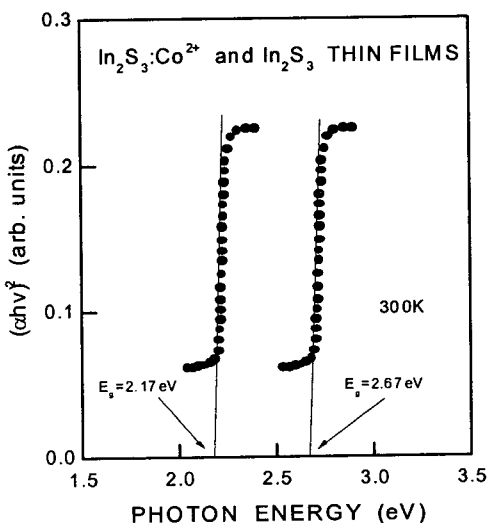


그림 2. In_2S_3 와 $\text{In}_2\text{S}_3:\text{Co}^{2+}$ 박막의 직접천이형 에너지 띠 간격
Fig. 2. Plots of $(ahv)^2$ vs. incident photon energy($h\nu$) for the In_2S_3 and $\text{In}_2\text{S}_3:\text{Co}^{2+}$ thin films.

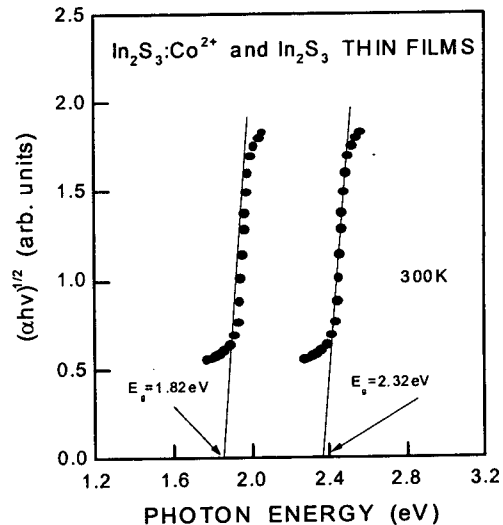


그림 3. In_2S_3 와 $\text{In}_2\text{S}_3:\text{Co}^{2+}$ 박막의 간접천이형 에너지 띠 간격
Fig. 3. Plots of $(ahv)^{1/2}$ vs. incident photon energy($h\nu$) for the In_2S_3 and $\text{In}_2\text{S}_3:\text{Co}^{2+}$ thin films.

In_2S_3 박막의 광흡수 스펙트럼은 그림 4와 같이 기초흡수 단 영역에서 기초흡수가 나타나고 있으며, 2700nm~3300nm 영역에서 원만한 불순물 피크(D)가 나타나고 있다. 이러한 불순물 피크는 Ga_2S_3 단결정에서[6] 나타나는 결함피크와 같은 형태로 인듐 공공에 의해 나타난다고 볼 수 있다.

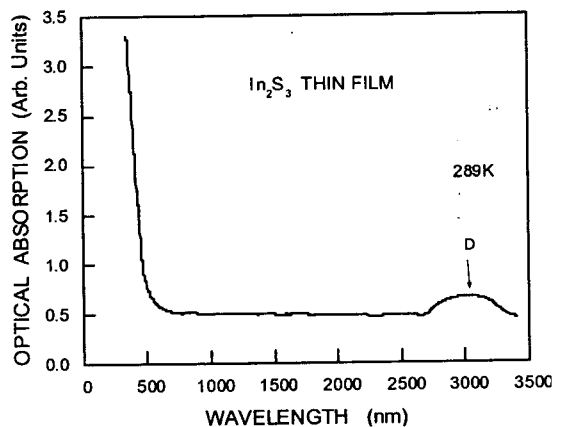
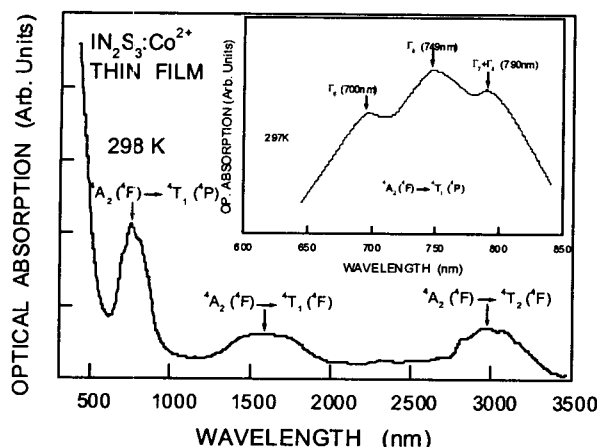
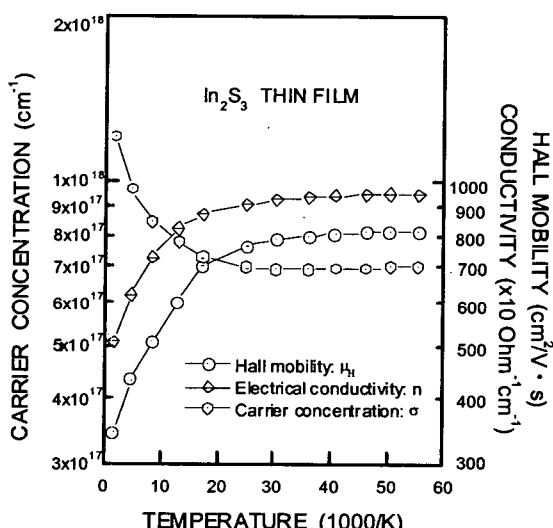


그림 4. In_2S_3 박막의 광흡수 스펙트럼
Fig. 4. Optical absorption spectrum of the In_2S_3 thin film.

그림 5는 $\text{In}_2\text{S}_3:\text{Co}^{2+}$ 박막의 광흡수 스펙트럼을 나타내고 있으며, 650nm~850nm 영역, 1300nm~2000nm 영역, 2750nm~3200nm 영역에서 코발트 불순물에 의한 세 그룹의 불순물 광흡수 피크가 나타나고 있다. 이를 피크 그룹들은 $\text{CdIn}_2\text{S}_3:\text{Co}^{2+}$ 단결정과[7] $\text{CuAlS}_2:\text{Co}^{2+}$ 단결정에서[8] Co^{2+} 이온에 의한 불순물 광흡수와 비교해 보면 T_d 대칭점에 위치한 Co^{2+} 이온의 에너지 준위간에 전자전이에 해당된다. 그러므로 650nm~850nm 영역은 $^4\text{A}_2(^4\text{F}) \rightarrow ^4\text{T}_1(^4\text{P})$ 전이, 1300nm~2000nm 영역은 $^4\text{A}_2(^4\text{F}) \rightarrow ^4\text{T}_1(^4\text{F})$ 전이, 2750nm~3200nm 영역은 $^4\text{A}_2(^4\text{F}) \rightarrow ^4\text{T}_2(^4\text{F})$ 전이에 해당된다고 볼 수 있다.

그림 5의 내부 그림은 $^4\text{A}_2(^4\text{F}) \rightarrow ^4\text{T}_1(^4\text{P})$ 전이인 650nm~850

nm 영역의 불순물 광흡수 피크를 298K에서 측정하여 나타내고 있으며, 각각 700nm, 749nm, 그리고 790nm의 피크들로 분리된다. 이들 피크들은 Co^{2+} (T_d) 이온의 $^4T_1(^P_2)$ 준위가 1차 스플릿에 결합 효과에 의해서 Γ_6 , Γ_8 , $\Gamma_7+\Gamma_8$ 기저준위로 분리되며, 이는 기저준위인 $^4A_2(^F)$ 준위에서 분리된 여기준위로의 전자전이에 의해 나타난 피크로 해석된다.

그림 5. $\text{In}_2\text{S}_3:\text{Co}^{2+}$ 박막의 광흡수 스펙트럼Fig. 5. Optical absorption spectrum of the $\text{In}_2\text{S}_3:\text{Co}^{2+}$ thin film.그림 6. In_2S_3 박막의 전기전도도, Hall 이동도 그리고 캐리어 농도의 온도 의존성Fig. 6. Temperature dependence of electrical conductivity, Hall mobility, and carrier concentration on In_2S_3 thin films.

Hall 효과 측정으로부터 구한 In_2S_3 박막의 전기전도 형태는 n형이었으며, 15K에서 300K까지의 온도영역에서 전기전도도를 측정하면 그림 6에서 보여준 것 같이 15K에서 $95.5 \text{ ohm}^{-1}\text{cm}^{-1}$ 이고 300K에서는 $52.5 \text{ ohm}^{-1}\text{cm}^{-1}$ 로 감소하고 있다. In_2S_3 박막에서 전기전도도는 온도가 상승할 때 감소하고 있으므로 축퇴(degenerated) 상태임을 알 수 있다. In_2S_3

박막의 Hall 이동도는 15K에서 $812 \text{ cm}^2/\text{V} \cdot \text{s}$ 으로 주어지고 300K에서는 $345 \text{ cm}^2/\text{V} \cdot \text{s}$ 로 감소되고 있으며, 캐리어 농도(carrier concentration)은 15K에서 $6.8 \times 10^{17} \text{ cm}^{-3}$ 으로 주어지고 300K에서는 $1.25 \times 10^{18} \text{ cm}^{-3}$ 으로 증가되고 있다. 온도가 증가될 때 Hall 이동도가 감소하고 캐리어 농도는 증가하는 특성을 나타내었다.

4. 결 론

분무합성법으로 성장시킨 In_2S_3 과 $\text{In}_2\text{S}_3:\text{Co}^{2+}$ 박막은 정방 정계 구조였으며, 광학적 에너지 캡은 간접천이에너지 캡인 경우 2.32eV, 1.81eV로 주어지고, 직접천이에너지 캡인 경우는 2.67eV, 2.17eV로 주어졌다. 불순물 광흡수 특성으로부터 $\text{In}_2\text{S}_3:\text{Co}^{2+}$ 박막의 코발트 불순물은 T_d 대칭점에 Co^{2+} 이온으로 위치하고, 에너지 준위간의 전자전이에 의하여 불순물 광흡수 피크가 나타남을 규명하였다. In_2S_3 박막의 전기전도도는 온도가 상승할 때 $95.5 \text{ ohm}^{-1}\text{cm}^{-1}$ 에서 $52.5 \text{ ohm}^{-1}\text{cm}^{-1}$ 로 감소하였고, Hall 이동도는 $812 \text{ cm}^2/\text{V} \cdot \text{s}$ 에서 $345 \text{ cm}^2/\text{V} \cdot \text{s}$ 로 감소하였으며 그리고 캐리어 농도는 $6.8 \times 10^{17} \text{ cm}^{-3}$ 에서 $1.25 \times 10^{18} \text{ cm}^{-3}$ 로 증가하는 특성을 나타내었다.

감사의 글

이 논문은 2004년도 조선대학교 학술연구비 지원을 받아 연구되었음.

참 고 문 헌

- [1] S. I. Radautsan and I. M. Tiginya, Defect engineering in II-III₂-VI₄ and related compounds, Jpn. J. Appl. Phys. 32(S32-9), p.5, 1993.
- [2] Wha-Tek Kim and Chang-Dae Kim, Optical energy gaps of β - In_2S_3 thin films grown by spray pyrolysis, J. Appl. phys. 60, p.2631, 1986.
- [3] Wha-Tek Kim and Chang-Dae Kim; Structural and optical properties of $\text{Co}_x\text{In}_{2-x}\text{S}_3$ thin films prepared by spray pyrolysis, J. Appl. phys. 60, p.2357, 1986.
- [4] Y. Tanabe and S. Sugano, On the absorption spectra of complex ions(I, II), J. Phys. Soc. Jpn. 9, p.753, 1954.
- [5] J. I. Pankove; Optical processes in semiconductors. (Dover pub., 1971, New York) p.34~42.
- [6] T. Ando and K. Kase, Optical absorption spectra of Ga_2S_3 single crystals, Solid State Comm. 18, 303 (1992).
- [7] M. Ueno, H. Nakanishi, and T. Irie, Optical absorption of Co-doped CdIn_2S_4 , J. Phys. Soc. Jap. 44, 2013 (1978).
- [8] I. Aksenov, T. Kai, N. Nishikawa, and K. Sato, Optical absorption of Co^{2+} in CuAlS_2 , Jpn. J. Appl. Phys. 32, L516 (1993).

저자 소개



오 금 곤 (吳 金 坤)

1946년 1월 17일생. 1968년 조선대학교 전기공학과 졸업. 1994년 동신대학교 전기공학과 졸업(석사). 1998년 동 대학원 전기전자공학부 졸업(공박). 현 조선대학교 전기공학과 교수

Tel : 062) 230-7033

E-mail : gkoh@mail.chosun.ac.kr



최 영 일 (崔榮錫)

1956년 7월 12일생. 1983년 조선대학교 공대 전자공학과 졸업. 1986년 조선대학교 대학원 전자공학과 졸업(석사). 1994년 동 대학원 전자공학과 졸업(공박). 현 조선이공대학 메카트로닉스과 교수. Tel : 062) 230-8412

E-mail : yichoimail.chosun-c.ac.kr



김 형 곤 (金 亨 坤)

1950년 2월 5일생. 1974년 조선대학교 물리학과 졸업. 1978년 동 대학원 물리학과 졸업(석사). 1989년 전남대학교 대학원 물리학과 졸업(이박). 현 조선이공대학 전기과 교수

Tel : 062) 230-8383

E-mail : hgkim@mail.chosun-c.ac.kr



김 남 오 (金 南 伍)

1967년 2월 9일생. 1994년 조선대학교 공대 전기공학과 졸업. 1996년 조선대학교 대학원 전기공학과 졸업(석사). 1999년 동 대학원 전기공학과 졸업(공박). 현 조선이공대학 전기과 조교수.

Tel : 062) 230-8388

E-mail : nokim@mail.chosun-c.ac.kr



김 병 철 (金 柄 哲)

1952년 7월 15일생. 1975년 조선대학교 전기공학과 졸업. 1983년 조선대학교 대학원 전기공학과 졸업(석사). 2003년 전남대 대학원(공박). 현 조선이공대학 전기과 교수.

Tel : 062-230-8393

E-mail : bckim@mail.chosun-c.ac.kr